

تأثیر نامنظمی سختی جانبی بر نیاز زاویه درز انتقطاع قاب‌های خمی فولادی مجاور تحت زلزله‌های حوزه نزدیک گسل

مصطفی خاتمی^۱، محسن گرامی^{۲*}، علی خیرالدین^۳

۱- دانشجوی دکتری مهندسی سازه، دانشگاه سمنان

۲- دانشیار، عضو پژوهشکده فناوری های نوین مهندسی عمران، دانشگاه سمنان

۳- استاد دانشکده مهندسی عمران، دانشگاه سمنان

*Mgerami@semnan.ac.ir

تاریخ پذیرش ۹۷/۰۷/۱۹

تاریخ دریافت ۹۶/۰۷/۲۲

چکیده

به دلیل عدم رعایت درز انتقطاع لازم بین ساختمان‌های مجاور، پدیده برخورد (ضریب) در هنگام وقوع زلزله رخ می‌دهد. ضربه می‌تواند منجر به خسارات موضعی به ستون‌های محل برخورد، خسارات موضعی یا کلی کف‌ها در تراز برخورد و یا منجر به فروپاش کلی ساختمان شود. از طرفی وجود نامنظمی سختی جانبی (طبقه نرم یا خلیلی نرم) به دلیل تغییر در نوع کاربری اولین طبقه ساختمان، از رایج ترین انواع نامنظمی است. این مقاله به تخمین نیاز زاویه درز انتقطاع در بالاترین تراز برخورد دو سازه مجاور در ترکیب قاب‌های خمی فولادی منظم و دارای نامنظمی سختی جانبی با تغییر در ارتفاع طبقه اول، تحت رکوردهای زلزله حوزه نزدیک گسل می‌پردازد. بدین منظور قاب‌های خمی فولادی ۲ تا ۲۰ طبقه ۳ دهانه منظم و نامنظم در هفت گروه از ترکیبات دوتایی در مجاورت یکدیگر قرار می‌گیرند و زاویه درز انتقطاع آنها با تحلیل دینامیکی تاریخچه زمانی غیرخطی محاسبه و مقایسه می‌شود. نتایج بدست آمده حاکی از آن است که افزایش مقدار نامنظمی سختی جانبی در اولین طبقه سازه، می‌تواند منجر به افزایش زاویه درز انتقطاع در ۸۴٪ از ترکیبات هم‌جاواری بررسی شده شود. ضرب میانگین این افزایش در کلیه حالات تحت تاثیر مورد بررسی از ترکیب قاب‌های منظم و نامنظم با ارتفاع طبقه اول ۴/۵ و ۵/۵ متر، به ترتیب ۱/۱۹ و ۱/۳۸ برابر ترکیبات قاب‌های منظم است.

واژگان کلیدی: زاویه درز انتقطاع، تراز برخورد، نامنظمی سختی جانبی، ساختمان‌های مجاور، تحلیل تاریخچه زمانی

نمی‌خواهند که بین ساختمان‌ها فاصله‌ای ایجاد شود. بنابراین در

هنگام زلزله، دو ساختمان با توجه به ویژگی‌های دینامیکی دچار تغییر مکان‌های جانبی خواهند شد. به علت تفاوت در این ویژگی‌ها، سیاری از این تغییر مکان‌ها به صورت ناهم فاز بین آنها صورت می‌گیرد. این تغییر مکان‌های ناهم فاز بین دو ساختمان، منجر به ضربه آنها می‌شود. این پدیده در بیشتر زلزله‌های بزرگ دنیا مشاهده شده است [۱-۳].

۱- مقدمه

ضربه پدیده‌ای است که به علت برخورد دو سازه به یکدیگر در هنگام وارد آمدن نیروهای جانبی بوجود می‌آید و موجب تخریب سازه و یا تخریب قسمتی از آن می‌شود. در واقع به هنگام وقوع ضربه، نیروی بزرگی در زمان کوتاه به سازه تحمیل می‌شود که در طراحی‌های رایج در نظر گرفته نشده است. در شهرهای بزرگ و در مناطق پرجمعیت به علت گرانی زمین مالکان

هنگ هائو در سال ۲۰۱۵ آثار اعمال زلزله‌های غیریکنواخت به تکیه‌گاه‌های ساختمان به دلیل انتشار امواج از درون خاک و وابستگی آن به نوع خاک و مقایسه این نوع اعمال زلزله با اعمال زلزله به صورت یکنواخت را مورد بررسی قرار داد. همچنین اثر نوع خاک نیز در ارزیابی نتایج مورد بررسی قرار گرفته است. عمدۀ نتایج بدست آمده عبارتند از: بیشترین اثر اعمال زلزله غیریکنواخت زمانی است که دو سازه مجاور فرکانس‌های ارتعاشی مشابه دارند، در خارج از این محدوده تاثیر آن ناچیز است. بنابراین نادیده گرفتن آثار اعمال زلزله‌های غیریکنواخت منجر به تخمین دست پایین نیاز فاصله جداسازی دو سازه در محدوده فرکانس‌های ارتعاش برابر می‌شود. همچنین با افزایش نرمی نوع خاک، فاصله جداسازی مورد نادرپور و همکاران در سال ۲۰۱۷ به کمک شبکه عصی مصنوعی رابطه جدیدی را برای درز انقطاع پیشنهاد نمودند. این رابطه که بر مبنای بیشینه تغییرمکان‌های جانبی و زمان تناوب دو سازه است، قادر است درز انقطاع بین سازه‌ها با زمان‌های تناوب مختلف را با دقت بالا تخمین بزند [6]. هدف از مطالعه این مقاله، تخمین نیاز زاویه درز انقطاع ترکیبات هم‌جاواری دو تابی قاب‌های خمی فولادی منظم و نامنظم است و بدین منظور با بررسی تاثیر مقدار نامنظمی سختی جانبی با تغییر در ارتفاع اولین طبقه قاب‌ها (به دلیل تغییر در نوع کاربری)، این نیاز تخمین زده می‌شود.

۲- معرفی مدل‌های مورد بررسی

مدل‌های مورد استفاده از نظر تنواع طبقاتی به شکل قاب‌های خمی فولادی دو بعدی با شکل پذیری زیاد از ساختمان‌های با تعداد طبقات ۲، ۴، ۶، ۸، ۱۰، ۱۲، ۱۴، ۱۶، ۱۸ و ۲۰ طبقه ۳ دهانه در نظر گرفته شده است. در قاب‌های منظم مورد مطالعه، ارتفاع کلیه طبقات ثابت و برابر $3/5$ متر و طول دهانه‌ها ثابت و برابر $5/5$ متر فرض شده است. برای ایجاد نامنظمی سختی جانبی در اولین طبقه، ارتفاع طبقه مذکور در مدل‌های نامنظم $4/5$ و $5/5$ متر در نظر گرفته شده است. تعداد 30 قاب مورد نظر منظم و نامنظم، مطابق مبحث ۶ مقررات ملی ساختمان بارگذاری ثقلی [7] و بر اساس استاندارد ۲۸۰۰ ایران (ویرایش چهارم) بارگذاری لرزه‌ای شده اند [8]. در بارگذاری ثقلی، بار مرده و زنده طبقات به ترتیب 650 و 250 کیلوگرم بر مترمربع با عرض بارگیر 5 متر در نظر گرفته شده و جرم کلیه طبقات یکسان فرض شده است. خاک محل احداث نوع III،

در زلزله تایوان (۱۹۹۹) و در سال‌های اخیر در زلزله ونچوان چین (۲۰۰۸) و کریس چرچ نیوزلند (۲۰۱۱) خسارات ناشی از ضربه ساختمان‌های مجاور مطابق شکل (۱) مشاهده شده است. گزارش‌های زلزله کریس چرچ نیوزلند حاکی از آن است که خسارات ضربه در ساختمان‌های بلند مرتبه و طبقات اول و دوم ساختمان‌های کوتاه مرتبه رخ داده است [3].

شکل ۱. خسارات ضربه بین ساختمان‌های مجاور (الف) زلزله ۱۹۹۹

تایوان (ب) زلزله ۲۰۰۸ و نچوان چین (ج) زلزله ۲۰۱۱ نیوزلند [3]



Fig. 1. Pounding damages between adjacent structures,
(a) 1999 taiwan Earthquake (b) 2008 Wenchuan Earthquake
(c) 2011 christchurch Earthquake [3]

یکی از عواملی که می‌تواند از وقوع پدیده ضربه تا حدود زیادی جلوگیری کند، قرار دادن درز انقطاع بین ساختمان‌ها است. پژوهش‌های مختلفی در خصوص محاسبه درز انقطاع لازم برای جلوگیری از برخورد قاب‌های مجاور ارائه شده است که از آن جمله می‌توان به پژوهش‌های بیشین شرستا در سال ۲۰۱۳ اشاره کرد. نتایج این پژوهش نشان داد که روش جمع قدر مطلق تغییرمکان‌ها^۱ و جذر مجموع مربعات تغییرمکان‌ها^۲ مقدار فاصله جداسازی مورد نیاز را در سازه‌های خطی و غیرخطی دست بالا تخمین می‌زنند، به ویژه زمانی که دو سازه دارای زمان تناوب مشابه (ویژگی‌های دینامیکی مشابه) یکدیگر هستند. مقادیر روش تفاضل طیغی^۳ به ویژه در حوزه سازه‌های با زمان تناوب برابر، هماهنگی خوبی با نتایج تحلیل دارد [4]. هاتزیجورجیو و همکاران در سال ۲۰۱۳ به بررسی ضربه در ساختمان‌های مجاور نامنظم در ارتفاع (دارای عقب نشینی یا سمت بک) پرداختند. نتایج حاصل، نشان دهنده وابستگی تاریخچه زمانی تغییرمکان جانبی و درز انقطاع به چیدمان قاب‌ها در مجاور یکدیگر و میزان نامنظمی است. همچنین با امتیازبندی ترکیبات مختلف هم‌جاواری بر اساس نیازهای مختلف لرزه‌ای نتیجه گرفت با افزایش ارتفاع برخورد دو سازه، شرایط بحرانی تر می‌شود [5].

1 ABS

2 SRSS

3 DDC

این قاب ها در ۷ گروه مطابق جدول (۱) در ترکیبات دوتابی با در نظر گرفتن تقدم و تاخر در چگونگی قرارگیری، می‌توانند در مجاورت یکدیگر قرار گیرند. هر گروه بیانگر ۱۰۰ نوع چیدمان مختلف دوتابی قاب‌ها در مجاور یکدیگر است و در مجموع، بررسی‌های انجام شده در ۷۰۰ حالت هم‌جاواری مختلف صورت پذیرفته و نتایج آن ارائه شده است. در جدول اخیر، R مخفف قاب منظم، I(4.5) مخفف قاب نامنظم با ارتفاع طبقه اول ۴.۵m (I(5.۵) مخفف قاب نامنظم با ارتفاع طبقه اول ۵.۵m و علامت* بیانگر تعداد طبقات قاب مورد بررسی است که می‌تواند از ۲ تا ۲۰ باشد. به عنوان نمونه در ترکیب ۲R.4I(4.5) از گروه ۲ جدول (۱)، قاب منظم ۲ طبقه در سمت چپ در مجاورت قاب نامنظم ۴ طبقه با ارتفاع طبقه اول ۴.۵m در سمت راست قرار می‌گیرد.

به منظور انجام تحلیل‌های دینامیکی تاریخچه زمانی غیرخطی از نرم افزار کد باز OPENSEES استفاده شده است. از توانمندی‌های این نرم افزار، انجام تحلیل دینامیکی تاریخچه زمانی با قابلیت اطمینان بالا است [11]. برای مدل سازی آثار غیرخطی از خاصیت فیبر گسترده استفاده شده و مدل رفتاری از نوع دوخطی با

شیب ناحیه سخت شدگی ۰/۰۳ است.

منطقه با خطر پذیری بسیار زیاد و نوع کاربری مسکونی با درجه اهمیت متوسط مدنظر است.

کلیه قاب‌ها با استفاده از نرم‌افزار ETABS2015 تحلیل استاتیکی معادل [9] و سپس به روش ضرب بار و مقاومت بر مبنای مبحث ۱۰ مقررات ملی ساختمان طراحی شده‌اند [10]. لازم به ذکر است که در برخی مدل‌های منظم و کلیه مدل‌های نامنظم، تحلیل دینامیکی طیفی بر اساس استاندارد ۲۸۰۰ انجام شده است. در طراحی ضمن صرف‌نظر از مدل‌سازی چشم‌های اتصال، اندرکنش نحاک و سازه و آثار میان قاب، سقف به صورت صلب فرض شده و آثار P-Δ در نظر گرفته شده است. ۶ تیپ تیر از مقطع تیورق شامل W550F250T20 تا TW300F150T15 عرض بال و T: ضخامت بال و جان بر حسب (mm) و ۷ تیپ ستون از مقطع جعبه‌ای مربعی شامل BOX200X15 تا BOX500X40 (ابعاد بر حسب mm) استفاده شده است. در خصوص قاب‌های نامنظم، بر اساس بند ۲-۷-۱ استاندارد ۲۸۰۰، با تغییر در ارتفاع طبقه اول به ۴/۵ و ۵/۵ متر و ثابت نگه داشتن مقطع ستون در دو طبقه اول، نتایج طراحی مورد بازنگری قرار می‌گیرد.

جدول ۱. ترکیبات قاب‌های مجاور مورد بررسی

Regular basic combination	Irregular combination (with an increase in the height of the first story to 4.5 m)			Irregular combination (with an increase in the height of the first story to 5.5 m)		
Group 1	Group 2	Group 3	Group 4	Group 5	Group 6	Group 7
*R.*R	*R.*I(4.5)	*I(4.5).*R	*I(4.5).*I(4.5)	*R.*I(5.5)	*I(5.5).*R	*I(5.5).*I(5.5)

Table 1. Adjacent frames combinations under consideration

جدول ۲. مشخصات ۲۰ رکورد زلزله نزدیک گسل (موقعه‌های عمود بر گسل)

Number	Earthquake name	Year	Station	PGA(g)	Mw	R(km)	Tp(s)
1	Imperial Valley-06	1979	El-Centro Array#4	0.61	6.53	7.05	4.61
2	Northridge-01	1994	Newhall-Fire Sta	0.18	6.69	5.92	1.03
3	Northridge-01	1994	Newhall-W Pico Canyon Rd.	0.33	6.69	5.48	2.40
4	Northridge-01	1994	Rinaldi Receiving Sta	0.08	6.69	6.50	1.23
5	Northridge-01	1994	Sylmar-Converter Sta East	0.58	6.69	5.19	3.52
6	Kobe, Japan	1995	KJMA	1.05	6.90	0.96	0.95
7	Kobe, Japan	1995	Takarazuka	0.94	6.90	0.27	1.42
8	Landers	1992	Yermo Fire Station	0.10	7.28	23.62	7.50
9	Imperial Valley-06	1979	El-Centro Array#6	0.65	6.53	1.35	3.83
10	Northridge-01	1994	Jensen Filter Plant	0.12	6.69	5.43	3.52
11	Imperial Valley-06	1979	EC Country Center FF	0.32	6.53	7.31	4.51
12	Imperial Valley-06	1979	EC Meloland Overpass FF	0.44	6.53	0.07	3.34
13	Morgan Hill	1984	Coyote Lake Dam(SW Abut)	0.23	6.19	0.53	0.95
14	Loma Prieta	1989	Gilory - Gavilan Coll	0.25	6.93	9.96	1.79
15	Loma Prieta	1989	LGPC	0.84	6.93	3.88	4.39
16	Northridge	1994	Westmoreland	0.40	6.70	29.00	0.30
17	Northridge-01	1994	Jensen Filter Plant Generator	0.12	6.69	5.43	3.52
18	Northridge-01	1994	Sylmar-Converter Sta	0.65	6.69	5.35	3.47
19	Northridge-01	1994	Sylmar-Olive View Med FF	0.45	6.69	5.30	3.10
20	Kocaeli,Turkey	1999	Gebze	0.30	7.51	10.92	5.78

PGA: Peak Ground Acceleration Mw: Moment Magnitude

R:Closest distance from the recording site to the ruptured area Tp: Predominant Period

Table 2. Characteristics of the 20 near-field earthquake records (perpendicular components to fault)

جانبی دو قاب ۲ و ۴ طبقه در بالاترین تراز برخورد تحت رکورد شماره ۱ از جدول (۲) را نشان می‌دهد. بر مبنای مقدار و جهت تغییر مکان جانبی متناظر این دو قاب، تاریخچه زمانی درز انقطاع مطابق شکل (۴) قابل ترسیم است. طبق شکل، بیشینه درز انقطاع مورد نیاز این دو سازه تحت رکورد مورد بررسی ۴/۷۵ سانتی‌متر است.

همچنین برای نسبت زمان تناوب اصلی نوسان دو قاب مجاور از روابط تجربی ارائه شده در بخش ۳-۳-۳ استاندارد ۲۸۰۰ استفاده شده است [۸]. قاب‌های منظم و نامنظم بر اساس جدول (۱) در مجاورت یکدیگر قرار گرفته و میانگین زاویه درز انقطاع از تحلیل دینامیکی تاریخچه زمانی تحت ۲۰ رکورد زلزله مورد بررسی با نتایج تحلیل قاب‌های منظم مقایسه می‌شود و اثر نامنظمی سختی جانبی بر این نیاز مورد بررسی قرار می‌گیرد.

شکل ۳. تاریخچه زمانی تغییر مکان جانبی دو قاب منظم ۲ و ۴ طبقه

در بالاترین تراز برخورد

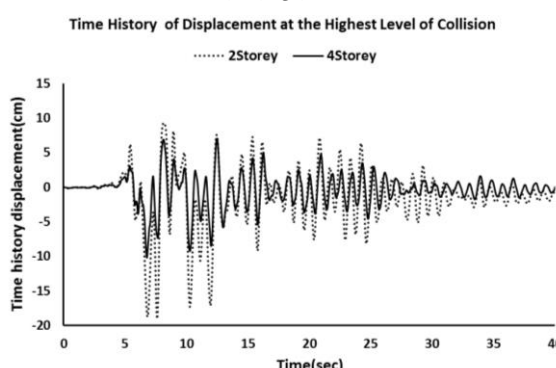


Fig. 3. Time history of displacement for regular frames 2 and 4 floors at the highest level of collision

شکل ۴. تاریخچه زمانی درز انقطاع دو قاب منظم ۲ و ۴ طبقه

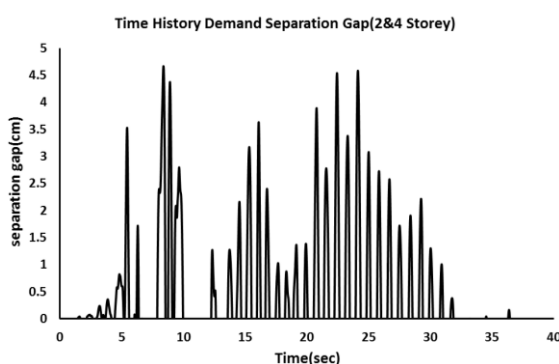


Fig. 4. Time history separation gap for regular frames 2 and 4 floors

۳- رکوردهای زلزله مورد استفاده

به منظور انجام تحلیل‌های دینامیکی غیرخطی، از ۲۰ مولفه عمود بر گسل دارای جهت پذیری پیش روندۀ رکوردهای زلزله نزدیک گسل پالس گونه پیشنهاد شده توسط ییکر [12] استفاده شده است. یکی از معیارهای اساسی در انتخاب شتاب نگاشتها، این موضوع است که دوره تناوب پالس غالب سرعت آنها در محدوده دوره تناوب اصلی قاب‌های مورد مطالعه در این پژوهش باشد. مشخصات این رکوردها در جدول (۲) ارائه شده است.

مقیاس‌سازی رکوردها بر اساس استاندارد ۲۸۰۰ (ویرایش چهارم) و فرآیند هم پایه سازی شتاب نگاشتها با نرمافزار Seismosignal انجام شده است [13]. طیف میانگین پاسخ شتاب ارجاعی با میرایی ۵٪ برای ۲۰ رکورد نزدیک گسل پالس گونه و عمود بر گسل مورد استفاده در این پژوهش در شکل (۲) داده شده است. ضرایب مقیاس برای محدوده زمان تناوب قاب‌های مورد مطالعه، ۰/۵۸ تا ۰/۰۵۸ استخراج شده است.

شکل ۲. طیف پاسخ شتاب ارجاعی برای میرایی ۵٪ متناظر با

زلزله‌های نزدیک گسل مورد بررسی

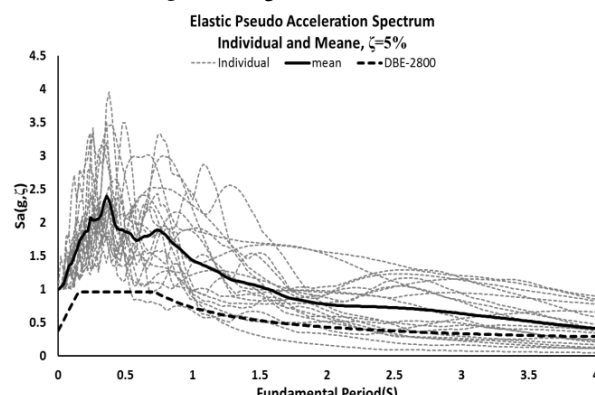


Fig. 2. Elastic pseudo acceleration spectrum for $\zeta=5\%$ corresponding to near-field earthquake under consideration

۴- نتایج تحلیل دینامیکی تاریخچه زمانی

پارامتر بی بعد نیاز زاویه درز انقطاع از تقسیم درز انقطاع مورد نیاز بر ارتفاع محل برخورد دو قاب در بالاترین تراز برخورد بدست آمده است. درز انقطاع نیز با هدف جلوگیری از برخورد دو سازه از بررسی ۶ حالت ممکن بر مبنای اختلاف تغییر مکان جانبی دینامیکی قاب‌های خمی مجاور در طول مدت زمان تحلیل، استخراج شده است. به عنوان نمونه شکل (۳) تاریخچه زمانی تغییر مکان

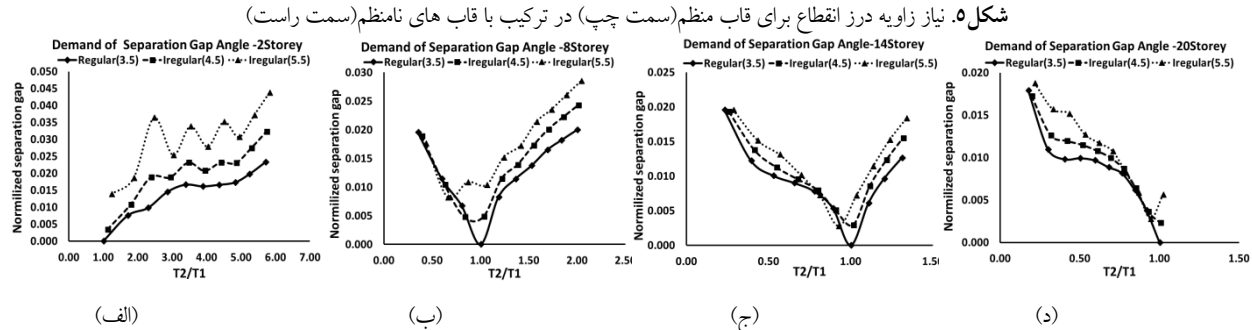


Fig. 5. Demand of separation gap angle for the regular frame(left) in combination with irregular frames(right)

۲-۴- قاب نامنظم (سمت چپ) در مجاورت قاب های منظم (سمت راست)

در شکل (۶) نمودار تغییرات زاویه درز انقطاع قاب نامنظم سمت چپ در ترکیب با سایر قاب ها، ارائه شده است. در این شکل، قاب مبنای ۲، ۸ و ۲۰ طبقه در سه حالت منظم، نامنظم با ارتفاع طبقه اول ۵/۵ متر در سمت چپ قرار گرفته و سایر قاب های منظم منطبق با گروه های ۱، ۳ و ۶ جدول (۱) در مجاورت آن قرار گرفته اند و تغییرات زاویه درز انقطاع برحسب نسبت زمان تناوب دو قاب، ارائه شده است. نتایج حاکی از آن است که در حالت کلی با افزایش اختلاف ارتفاع قاب های مجاور و افزایش میزان نامنظمی سختی جانبی در طبقه اول قاب های سمت چپ، زاویه درز انقطاع بین آنها افزایش می یابد. به عنوان نمونه در شکل (۶-الف) با قاب مبنای ۲ طبقه، میانگین این افزایش در ترکیب قاب های منظم و نامنظم با ارتفاع طبقه اول ۴/۵ و ۵/۵ متر، به ترتیب ۱/۲۳ و ۱/۳۹ برابر ترکیب قاب های منظم بدون در نظر گرفتن حالت مجاورت قاب ها با تعداد طبقات برابر است. مشابه بخش ۱-۴ نامنظمی منجر به زاویه درز انقطاع قابل ملاحظه در ترکیب دو قاب مجاور نامنظم و منظم با تعداد طبقات برابر خواهد شد و با افزایش مقدار نامنظمی این نیاز افزایش می یابد.

۴-۱- قاب منظم (سمت چپ) در مجاورت قاب های نامنظم (سمت راست)

در شکل (۵) نمودار تغییرات زاویه درز انقطاع قاب منظم سمت چپ در ترکیب با سایر قاب ها ارائه شده است. در این شکل، قاب مبنای منظم ۲، ۸ و ۲۰ طبقه در سمت چپ قرار گرفته و سایر قاب ها در سه حالت منظم، نامنظم با ارتفاع طبقه اول ۴/۵ متر و نامنظم با ارتفاع طبقه اول ۵/۵ متر منطبق با گروه های ۱، ۲ و ۵ جدول (۱) در مجاورت آن قرار گرفته اند و تغییرات زاویه درز انقطاع برحسب نسبت زمان تناوب قاب های سمت راست به قاب مبنای سمت چپ ارائه شده است. نتایج بدست آمده حاکی از آن است که در حالت کلی با افزایش اختلاف ارتفاع قاب های مجاور و افزایش میزان نامنظمی سختی جانبی در طبقه اول قاب های سمت راست، زاویه درز انقطاع بین آنها افزایش می یابد. به عنوان نمونه در شکل (۵-الف) با قاب مبنای ۲ طبقه، میانگین این افزایش در ترکیب قاب های منظم و نامنظم با ارتفاع طبقه اول ۴/۵ و ۵/۵ متر، به ترتیب ۱/۴۳ و ۱/۱۵ برابر ترکیب قاب های منظم بدون در نظر گرفتن حالت مجاورت قاب ها با تعداد طبقات برابر است. همچنین نامنظمی منجر به زاویه درز انقطاع قابل ملاحظه در ترکیب دو قاب مجاور منظم و نامنظم با تعداد طبقات برابر خواهد شد و با افزایش نامنظمی این نیاز افزایش می یابد.

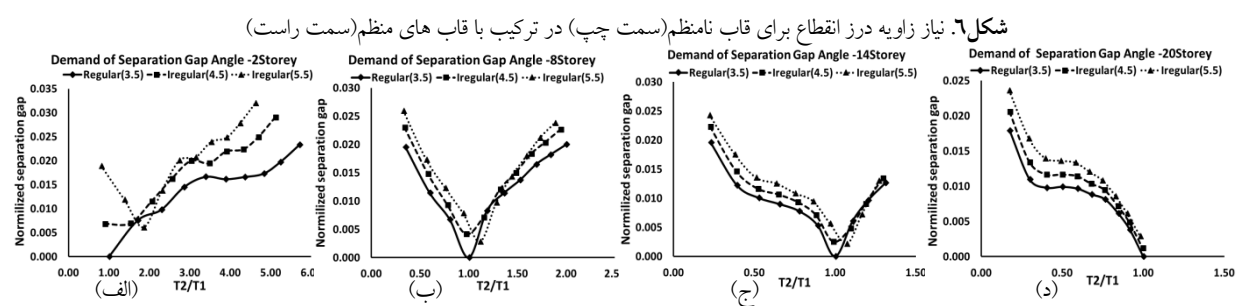


Fig. 6. Demand of separation gap angle for the irregular frame(left) in combination with regular frames(right)

شکل ۷. نیاز زاویه درز انقطاع برای قاب نامنظم (سمت چپ) در ترکیب با قاب‌های نامنظم (سمت راست)

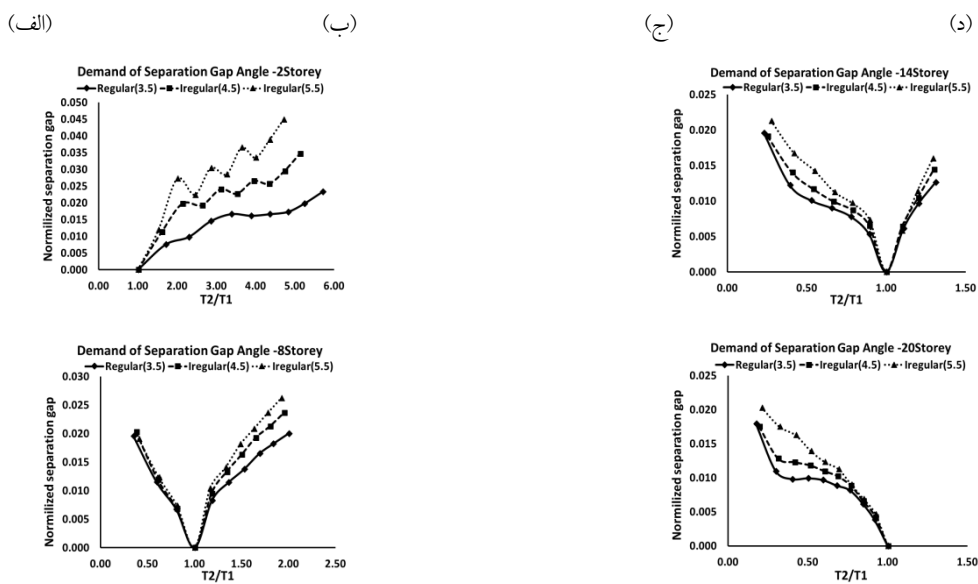


Fig. 7. Demand of separation gap angle for the irregular frame(left) in combination with irregular frames(right)

۴-۴- جمع‌بندی نتایج تأثیر نامنظمی سختی جانبی بر نیاز زاویه درز انقطاع

در جدول (۳) جمع‌بندی نتایج تحلیل در بخش‌های ۱-۴ و ۳-۴ ارائه شده است. در این جدول ضریب تغییرات زاویه درز انقطع بر مبنای ۴۵ حالت همجواری در ۳ گروه از ترکیبات مورد بررسی نسبت به ترکیبات مبنای منظم داده شده است. ذکر این نکته ضروری است که از تقدم و تاخر در چگونگی چیدمان قاب‌ها با انتخاب زاویه درز انقطاع بیشینه همجواری‌های مشابه (به عنوان نمونه از تحلیل دو ترکیب ۴RH.2RL و 2RL.4RH) بیشینه زاویه درز انقطاع انتخاب شده است) و همچنین حالات همجواری قاب‌ها با تعداد طبقات برابر، صرف نظر شده است. ضرایب بیشتر از ۱ نشان دهنده افزایش و ضرایب کمتر از ۱ نشان دهنده کاهش زاویه درز انقطع نسبت به ترکیب مبنای منظم است. H مخفف قاب بلندتر و L مخفف قاب کوتاهتر است. در حالتی که قاب‌های نامنظم بلندتر در مجاورت قاب‌های منظم کوتاهتر قرار گیرند (IH.*RL)، در کلیه ترکیبات همجواری زاویه درز انقطع نسبت به حالت همجواری قاب‌های منظم (RH.*RL) افزایش می‌یابد و ضریب میانگین این افزایش برای ترکیبات قاب‌های نامنظم با ارتفاع طبقه اول ۴/۵ و ۵/۵ متر به ترتیب ۱/۲۸ و ۱/۶۶ است. همچنین بیشینه ضریب افزایش زاویه درز انقطع از میان همجواری‌های مختلف برای ترکیبات قاب‌های نامنظم با ارتفاع طبقه اول ۴/۵ و ۵/۵ متر به ترتیب ۱/۵۰ و ۲/۴۷ است. در حالتی که قاب‌های منظم بلندتر در

۴-۳- قاب نامنظم (سمت چپ) در مجاورت قاب‌های نامنظم (سمت راست)

در شکل (۷) نمودار تغییرات زاویه درز انقطع قاب نامنظم سمت چپ در ترکیب با قاب‌های نامنظم دیگر ارائه شده است. در این شکل، قاب مبنای مبنای ۲، ۸ و ۱۴ با طبقه در سه حالت منظم، نامنظم با ارتفاع طبقه اول ۴/۵ متر و نامنظم با ارتفاع طبقه اول ۵/۵ متر در سمت چپ قرار گرفته و به ترتیب متناظر با حالات فوق سایر قاب‌ها نیز در سه حالت منظم، نامنظم با ارتفاع طبقه اول ۴/۵ متر و نامنظم با ارتفاع طبقه اول ۵/۵ متر منطبق با گروه‌های ۱، ۴ و ۷ جدول (۱) در مجاورت آن قرار گرفته‌اند.

نتایج حاکی از آن است که در حالت کلی با افزایش اختلاف ارتفاع قاب‌های مجاور و افزایش میزان نامنظمی سختی جانبی در طبقه اول هر دو قاب مجاور، زاویه درز انقطع بین آنها افزایش می‌یابد. به عنوان نمونه در شکل (۷-الف) با قاب مبنای ۲ طبقه، میانگین این افزایش در ترکیب قاب‌های نامنظم با ارتفاع طبقه اول ۴/۵ و ۵/۵ متر، به ترتیب ۱/۵۳ و ۱/۹۵ برابر ترکیب قاب‌های منظم بدون در نظر گرفتن حالت مجاورت قاب‌ها با تعداد طبقات برابر است. لازم به ذکر است که در دو قاب نامنظم با مقدار نامنظم میکسان و طبقات برابر، مقدار زاویه درز انقطع حاصل از تحلیل، مشابه دو قاب منظم با تعداد طبقات برابر، صفر است.

گیرند (IH.*IL.*IH.*), برای ترکیبات قاب‌های نامنظم با ارتفاع طبقه اول ۴/۵ و ۵/۵ متر به ترتیب در ۹۱٪ و ۹۳٪ حالات همچواری، زاویه درز انقطاع نسبت به حالت همچواری قاب‌های منظم مبنای افزایش می‌یابد و ضریب میانگین این افزایش برای ترکیبات قاب‌های نامنظم با ارتفاع طبقه اول ۴/۵ و ۵/۵ متر به ترتیب ۱/۱۷ و ۱/۳۵ است. همچنین بیشینه ضریب افزایش زاویه درز انقطع از میان ترکیبات مختلف همچواری برای ترکیبات قاب‌های نامنظم با ارتفاع طبقه اول ۴/۵ و ۵/۵ متر به ترتیب ۱/۵۰ و ۱/۹۷ است.

مجاورت قاب‌های نامنظم کوتاه‌تر در ۴۵ حالت قرار گیرند (*IL.RH)، برای ترکیبات قاب‌های نامنظم با ارتفاع طبقه اول ۴/۵ متر به ترتیب در ۵۳٪ و ۶۲٪ حلالات هم‌مجواری، زاویه درز انقطع نسبت به حالت هم‌مجواری قاب‌های منظم مبنای (*RL.RH) افزایش می‌یابد و ضریب میانگین این افزایش برای ترکیبات قاب‌های نامنظم با ارتفاع طبقه اول ۴/۵ و ۵/۵ متر به ترتیب ۱/۱۰ و ۱/۱۶ است. همچنین بیشینه ضریب افزایش زاویه درز انقطع از میان ترکیبات مختلف هم‌مجواری برای ترکیبات قاب‌های نامنظم با ارتفاع طبقه اول ۴/۵ و ۵/۵ متر به ترتیب ۱/۲۶ و ۱/۴۱ است. در حالتی که قاب‌های نامنظم در ۴۵ حالت در مجاورت یکدیگر قرار

جدول ۳: ضرایب تغییرات نیاز زاویه درز انقطاع در کلیه ترکیبات همچو راری نسبت به ترکیب مبنای منظم

Regular basic combination	Separation gap angle	*IH.*RL	Coefficients of variation		*RH.*IL	Coefficients of variation		*IH.*IL	Coefficients of variation	
			I(4.5)	I(5.5)		I(4.5)	I(5.5)		I(4.5)	I(5.5)
18RH.16RL	0.005	18IH.16RL	1.50	2.13	18RH.16IL	0.87	0.50	18IH.16IL	1.25	1.46
16RH.14RL	0.006	16IH.14RL	1.40	1.87	16RH.14IL	0.79	0.36	16IH.14IL	1.05	0.95
12RH.10RL	0.007	12IH.10RL	1.40	1.87	12RH.10IL	0.75	0.29	12IH.10IL	1.01	0.89
14RH.12RL	0.007	14IH.12RL	1.41	1.93	14RH.12IL	0.84	0.42	14IH.12IL	1.12	1.26
20RH.18RL	0.007	20IH.18RL	1.38	1.85	20RH.18IL	0.94	0.62	20IH.18IL	1.19	1.34
8RH.6RL	0.008	8IH.6RL	1.47	2.04	8RH.6IL	0.45	1.36	8IH.6IL	0.83	0.92
10RH.8RL	0.008	10IH.8RL	1.38	1.83	10RH.8IL	0.86	0.44	10IH.8IL	1.15	1.25
6RH.4RL	0.010	6IH.4RL	1.41	2.47	6RH.4IL	0.53	1.19	6IH.4IL	0.99	1.47
18RH.14RL	0.010	18IH.14RL	1.28	1.58	18RH.14IL	0.94	0.75	18IH.14IL	1.08	1.18
20RH.16RL	0.010	20IH.16RL	1.28	1.57	20RH.16IL	1.06	1.00	20IH.16IL	1.19	1.37
8RH.4RL	0.011	8IH.4RL	1.34	1.81	8RH.4IL	0.90	0.71	8IH.4IL	1.13	1.13
12RH.8RL	0.011	12IH.8RL	1.22	1.51	12RH.8IL	1.06	0.85	12IH.8IL	1.16	1.23
14RH.10RL	0.011	14IH.10RL	1.27	1.57	14RH.10IL	0.92	0.70	14IH.10IL	1.05	1.07
16RH.12RL	0.011	16IH.12RL	1.26	1.52	16RH.12IL	1.00	0.87	16IH.12IL	1.11	1.21
10RH.6RL	0.012	10IH.6RL	1.28	1.65	10RH.6IL	0.83	0.73	10IH.6IL	0.94	1.06
4RH.2RL	0.013	4IH.2RL	1.38	1.84	4RH.2IL	0.80	1.09	4IH.2IL	1.21	0.98
18RH.12RL	0.013	18IH.12RL	1.22	1.44	18RH.12IL	1.06	1.04	18IH.12IL	1.14	1.26
20RH.14RL	0.013	20IH.14RL	1.23	1.45	20RH.14IL	1.06	1.03	20IH.14IL	1.14	1.26
14RH.8RL	0.014	14IH.8RL	1.26	1.56	14RH.8IL	1.09	1.05	14IH.8IL	1.19	1.32
16RH.10RL	0.014	16IH.10RL	1.23	1.46	16RH.10IL	1.02	0.88	16IH.10IL	1.10	1.06
10RH.4RL	0.015	10IH.4RL	1.33	1.80	10RH.4IL	1.09	0.87	10IH.4IL	1.24	1.33
12RH.6RL	0.015	12IH.6RL	1.24	1.54	12RH.6IL	0.95	0.79	12IH.6IL	1.04	1.02
20RH.12RL	0.015	20IH.12RL	1.21	1.41	20RH.12IL	1.09	1.13	20IH.12IL	1.15	1.27
12RH.4RL	0.016	12IH.4RL	1.31	1.68	12RH.4IL	1.10	1.05	12IH.4IL	1.22	1.41
18RH.10RL	0.016	18IH.10RL	1.21	1.39	18RH.10IL	1.05	0.98	18IH.10IL	1.11	1.15
14RH.6RL	0.017	14IH.6RL	1.27	1.55	14RH.6IL	1.01	0.87	14IH.6IL	1.10	1.15
16RH.8RL	0.017	16IH.8RL	1.22	1.42	16RH.8IL	1.11	1.09	16IH.8IL	1.17	1.26
6RH.2RL	0.018	6IH.2RL	1.21	2.06	6RH.2IL	1.03	0.74	6IH.2IL	1.12	1.54
14RH.4RL	0.018	14IH.4RL	1.29	1.71	14RH.4IL	1.11	1.16	14IH.4IL	1.25	1.52
16RH.6RL	0.018	16IH.6RL	1.24	1.49	16RH.6IL	1.04	1.00	16IH.6IL	1.12	1.21
18RH.8RL	0.018	18IH.8RL	1.22	1.43	18RH.8IL	1.12	1.16	18IH.8IL	1.17	1.30
20RH.10RL	0.018	20IH.10RL	1.20	1.38	20RH.10IL	1.09	1.06	20IH.10IL	1.13	1.21
16RH.2RL	0.019	16IH.2RL	1.21	1.61	16RH.2IL	1.17	1.30	16IH.2IL	1.35	1.76
16RH.4RL	0.019	16IH.4RL	1.30	1.63	16RH.4IL	1.15	1.22	16IH.4IL	1.28	1.56
8RH.2RL	0.020	8IH.2RL	1.18	1.30	8RH.2IL	0.97	0.90	8IH.2IL	1.04	1.15
12RH.2RL	0.020	12IH.2RL	1.11	1.39	12RH.2IL	0.97	1.03	12IH.2IL	1.13	1.42
14RH.2RL	0.020	14IH.2RL	1.19	1.80	14RH.2IL	1.12	1.22	14IH.2IL	1.36	1.87
18RH.2RL	0.020	18IH.2RL	1.39	1.88	18RH.2IL	1.26	1.41	18IH.2IL	1.50	1.97
18RH.6RL	0.020	18IH.6RL	1.25	1.50	18RH.6IL	1.05	1.07	18IH.6IL	1.13	1.26
20RH.8RL	0.020	20IH.8RL	1.21	1.42	20RH.8IL	1.13	1.19	20IH.8IL	1.18	1.31
10RH.2RL	0.021	10IH.2RL	1.12	1.63	10RH.2IL	1.00	0.97	10IH.2IL	1.16	1.47
18RH.4RL	0.021	18IH.4RL	1.30	1.68	18RH.4IL	1.16	1.25	18IH.4IL	1.29	1.56
20RH.2RL	0.023	20IH.2RL	1.39	1.88	20RH.2IL	1.25	1.37	20IH.2IL	1.49	1.93
20RH.6RL	0.023	20IH.6RL	1.25	1.53	20RH.6IL	1.04	1.07	20IH.6IL	1.13	1.26
20RH.4RL	0.024	20IH.4RL	1.32	1.69	20RH.4IL	1.16	1.23	20IH.4IL	1.31	1.59

Table 3. Coefficients of variation demand of separation gap angle in all adjacent combinations relative to the regular basic combination

شکل ۸. نیاز زاویه درز انقطاع در بالاترین تراز برخورد

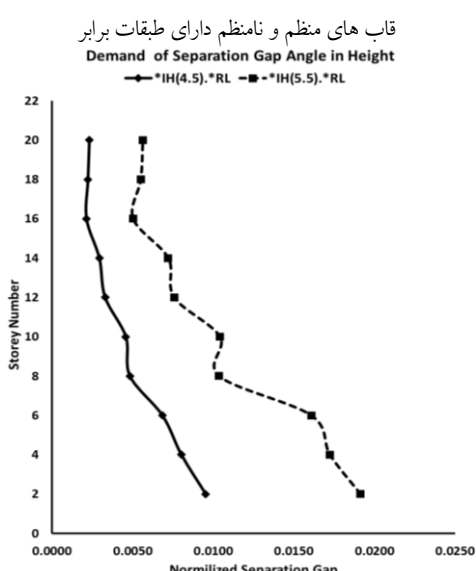


Fig. 8. Demand of separation gap angle at the highest level of collision for regular and irregular frames have equal number of floors

شکل ۹. نیاز زاویه درز انقطاع در ارتفاع محل برخورد

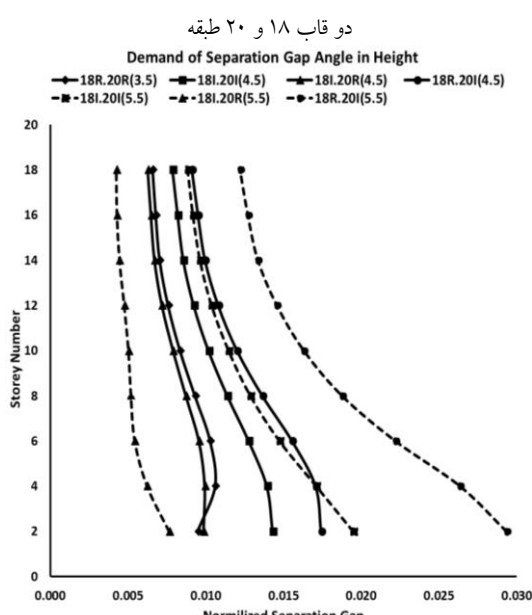


Fig. 9. Demand of separation gap angle at the height of the collision for frames 18 and 20 floors

۵- نتیجه‌گیری

این پژوهش به تخمین نیاز زاویه درز انقطاع در ۷۰۰ ترکیب مختلف همچو ری قاب‌های منظم و نامنظم در بالاترین تراز برخورد پرداخته و نتایج حاصل از تحلیل‌های انجام شده تحت ۲۰ مولفه عمود بر گسل زلزله‌های حوزه نزدیک گسل عبارتند از:

شکل (۸) تغییرات زاویه درز انقطاع در بالاترین تراز برخورد قاب‌های منظم و نامنظم با طبقات برابر را نشان می‌دهد. با افزایش ارتفاع محل برخورد و کاهش آثار طبقه نرم، مقدار زاویه درز انقطاع کاهش می‌یابد، به شکلی که بیشینه درز انقطاع در پایین‌ترین تراز برخورد، بین دو قاب ۲ طبقه منظم و نامنظم رخ می‌دهد. با افزایش نامنظمی سختی جانبی در طبقه اول، مقدار این نیاز بیشتر می‌شود بطوری که میانگین این افزایش برای قاب‌های منظم و نامنظم با ارتفاع طبقه اول ۵/۵ متر و دارای تعداد طبقات مشابه، ۲/۳ برابر حالات متناظر با قاب‌های نامنظم با ارتفاع طبقه اول ۴/۵ متر است.

۴- تأثیر نامنظمی سختی جانبی بر نیاز زاویه درز انقطاع در ارتفاع محل برخورد

در شکل (۹) تغییرات زاویه درز انقطاع در ارتفاع محل برخورد دو قاب ۱۸ و ۲۰ طبقه که بیشترین همچو ری در ارتفاع را در میان ترکیبات بررسی شده دارند، در حالات مختلف مندرج در ردیف ۵ جدول (۳) ارائه شده است. با افزایش میزان نامنظمی سختی جانبی در اولین طبقه، الگوی تغییرات زاویه درز انقطاع به ویژه در طبقات پایین دچار تغییر می‌شود. ایجاد نامنظمی سختی جانبی، الزاماً در کلیه ترکیبات مورد بررسی منجر به افزایش زاویه درز انقطاع نخواهد شد به ویژه در ترکیب دو سازه ۱۸ و ۲۰ طبقه که دو قاب بلند با اختلاف ارتفاع کم در مجاورت هم قرار گرفته‌اند. در حالت اخیر به دلیل کاهش نسبت زمان تناوب قاب‌ها به ۱، زاویه درز انقطاع دچار تغییر قابل ملاحظه نشده و یا حتی کاهش می‌یابد.

میانگین افزایش زاویه درز انقطاع در ارتفاع برای ترکیب قاب ۱۸ طبقه منظم و ۲۰ طبقه نامنظم با ارتفاع طبقه اول ۴/۵ و ۵/۵ متر، به ترتیب ۱/۵۰ و ۲/۱۴ برابر ترکیب قاب ۱۸ و ۲۰ طبقه منظم و برای ترکیب قاب ۱۸ او ۲۰ طبقه نامنظم با ارتفاع طبقه اول ۴/۵ و ۵/۵ متر، به ترتیب ۱/۲۶ و ۱/۴۷ برابر ترکیب قاب ۱۸ و ۲۰ طبقه منظم است. بنابراین ترکیب قاب ۱۸ طبقه منظم و ۲۰ طبقه نامنظم با ارتفاع طبقه اول ۵/۵ متر بیشترین زاویه درز انقطاع را نسبت به سایر ترکیبات بررسی شده دارد.

References

- [1] Favvata M. J. 2017 Minimum required separation gap for adjacent RC frames with potential inter-story seismic pounding. *Engineering Structures*, 152, 643-659.
- [2] Shehata E., Raheem A. 2014 Mitigation Measures for Earthquake Induced Pounding Effects on Seismic Performance of Adjacent Buildings. *Bull Earthquake Eng*, 12, 1705-1724.
- [3] Hao H. 2015 Analysis of Seismic Pounding between Adjacent Buildings. *Australian Journal of Structural Engineering*, 16(3), 208-225.
- [4] Shrestha B. 2013 Effects of Separation Distance and Nonlinearity on Pounding Response of Adjacent Structures. *International Journal of Civil and Structural Engineering*, 3(3), 603-612.
- [5] Efraimiadou S., Hatzigeorgiou G. D., Beskos D. E. 2013 Structural Pounding between Adjacent Buildings Subjected to Strong Ground Motions. PartI: The Effect of Different Structures Arrangement. *Earthquake Engineering & Structural Dynamics*, 42, 1509-1528.
- [6] Naderpour H., Khatami S. M., Barros R. C. 2017 Prediction of Critical Distance Between Two MDOF Systems Subjected to Seismic Excitation in Terms of Artificial Neural Networks. *Periodica Polytechnica Civil Engineering*, paper9618.
- [7] Road, Housing and Urban Development Research Center. 2014 Iranian National Building Code: Design Loads for Buildings-Division 6. Tehran, Iran, Publisher tosseh iran (In Persian).
- [8] Road, Housing and Urban Development Research Center. 2014 Iranian Standard No.2800. Iranian Code of Practice for Seismic Resistant Design of Buildings. Tehran, Iran (In Persian).
- [9] Computers and Structures, Inc. 2015 Analysis Reference Manual for ETABS 2015 , Berkeley, USA.
- [10] Road, Housing and Urban Development Research Center. 2014 Iranian National Building Code: Design and Construction of Steel Structures -Division 10. Tehran, Iran, Publisher tosseh iran (In Persian).
- [11] McKenna F., Fenves G. 2007 Open System for Earthquake Engineering Simulation. University of California, Berkeley.
- [12] Baker J.W. 2007 Quantitative Classification of Near-Fault Ground Motions Using Wavelet Analysis. *Bulletin of the Seismological Society of America*, 97(5), 1486-1501.
- [13] Seismosoft, Seismosignal Ver. 5.1.2
(www.seismosoft.com).

۶- مراجع

- با افزایش میزان نامنظمی سختی جانبی با تغییر در ارتفاع طبقه اول قاب های مورد مطالعه، زاویه درز انقطاع بین قاب های مجاور در ۸۴٪ ترکیبات همچوایی بررسی شده افزایش می یابد. ضریب میانگین این افزایش از ترکیب قاب های منظم و نامنظم با ارتفاع طبقه اول ۴/۵ و ۵/۵ متر، به ترتیب ۱/۱۸ و ۱/۳۹ برابر ترکیبات قاب های منظم است.
- از بین ترکیبات مختلف قاب های منظم و نامنظم در مجاورت یکدیگر، در حالتی که سازه بلندتر دارای نامنظمی سختی جانبی در اولین طبقه باشد، ضریب میانگین افزایش زاویه درز انقطاع نسبت به ترکیبات همچوایی منظم، بیش از سایر حالات مورد بررسی است، به شکلی که ضریب میانگین این افزایش برای ترکیبات قاب های نامنظم با ارتفاع طبقه اول ۴/۵ و ۵/۵ متر به ترتیب ۱/۲۸ و ۱/۶۶ است.
- نامنظمی منجر به زاویه درز انقطاع قابل ملاحظه در ترکیب دو قاب مجاور منظم و نامنظم با تعداد طبقات برابر خواهد شد و با افزایش مقدار نامنظمی این نیاز افزایش می یابد بطوريکه میانگین این افزایش در قاب های نامنظم با ارتفاع طبقه اول ۵/۵ متر، ۲/۳ برابر قاب های نامنظم با ارتفاع طبقه اول ۴/۵ متر است.
- با افزایش میزان نامنظمی سختی جانبی در اولین طبقه، الگوی تغییرات زاویه درز انقطاع در ارتفاع به ویژه در طبقات پایین چهار تغییر می شود. همچنین نامنظمی الزاماً منجر به افزایش زاویه درز انقطاع در کلیه ترکیبات همچوایی نخواهد شد، به ویژه در ترکیباتی که قاب های بلند با اختلاف ارتفاع کم در مجاورت یکدیگر قرار گیرند.

The Effect of the Irregularity of Lateral Stiffness on the Demand of Separation Gap Angle in Steel Moment Frames Under Near-Field Earthquakes

Mostafa Khatami¹, Mohsen Gerami^{2*}, Ali Kheyroddin³

1- Ph.D. Student of Structural Engineering, Semnan University, Semnan, Iran.

2- Associate Professor in the Faculty of Civil Engineering, Semnan University, Semnan, Iran.

3- Professor in the Faculty of Civil Engineering, Semnan University, Semnan, Iran.

*Mgerami@semnan.ac.ir

Abstract:

In crowded cities, building structures are usually constructed in close proximity to one another because of restricted availability of space. In many cases, every building in a block is in full or partial contact with its neighboring buildings. Because of insufficient separations, their different heights and seismic-resisting systems collision can occur between adjacent buildings during strong ground motions. This collision can make partial or general damages to the structural elements and accelerate their failure by affecting their stiffness. This phenomenon is commonly referred to as structural pounding. Pounding between inadequately separated buildings has been observed in most previous major earthquakes. Each time pounding occurs, building structures will sustain short duration large impact force not specifically considered in conventional designs. The severity of the impact depends on the dynamic characteristics of the adjacent buildings in combination with the earthquake characteristics. Options to minimize the effect of pounding have to do with the decreasing of lateral motion by joining adjacent buildings at critical positions so that their motion could be in-phase or by increasing the damping capacity of building pounding by means of energy dissipation, for example, by passive structural control systems. Modern seismic design codes have many pioneering provisions on the non-linear behavior of structures, but amongst others, they do not consider structural pounding, a phenomenon with strong non-linearities, for which codes usually suggest a sufficient separation between adjacent buildings.

On the one hand, irregularity in lateral stiffness (a soft or very soft story) due to the different use of the first floor of the building is one of the most common types of irregularity. Aiming to prevent such collisions, these study estimates demand of separation gap angle at the highest level of collision between two adjacent structures in regular steel moment frames with irregularity in the lateral stiffness (with changes in the height of the first floor) under seismic records of a near-field earthquake. Models were considered as two-dimensional, ductile, steel moment frames of 2, 4, 6, 8, 10, 12, 14, 16, 18, and 20-story 3-span buildings. In order to create an irregularity in the lateral stiffness on the first floor, the height of this story was increased from 3.5 m to 4.5 and 5.5 m while the cross-section of the column at the first two stories was kept unchanged. These frames can be placed alongside in seven binary groups considering priority in the arrangement. Each group represents 100 different binary arrangements of the frames. In total, 700 cases of various adjacency were studied. The OPENSEES software was used to analyze the dynamics of the nonlinear history considering 20 perpendicular components to the fault with a progressive orientation of near-field earthquake records of pulse-like faults. The results suggest the increase in the irregularity in the lateral stiffness in the first floor of the building can increase the separation gap angle. On average, the combination of regular and irregular frames with the first-floor height of 4.5 and 5.5 m, is increased 1.19 and 1.38 times, respectively, compared to the combinations of regular frames. Moreover, among various adjacent combinations of regular and irregular frames, in case the taller structure is associated with lateral stiffness (soft floor), the average increase in the separation gap angle is larger than other cases.

Keywords: Separation Gap Angle, Collision Level, Irregularity of Lateral Stiffness, Adjacent Buildings, Time History Analysis.